

日本大学理工学部 正員 ○栗津清蔵  
日本テトラポッド K.K. 正員 宮崎和行

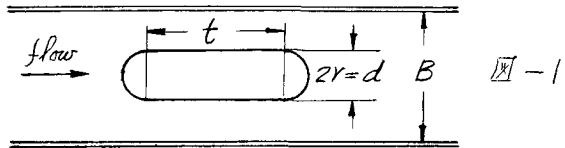
## §. 1. まえがき。

第二報において、橋脚周りの流れの強弱によって、その周りの洗掘が発生したり、時には逆流が見られる場合が多いので、両者を境界に相当する流れを限界流、洗掘の生ずる流れを超限界流と呼び、單一橋脚(円形断面橋脚を a-type, 橋脚表面断面橋脚を b-type)の周りの洗掘を対象として、(1) 固定床実験の接脚モデルとし、a, b-type を対象として移動床実験結果とともに超限界流について述べ、(2) a-type を対象として、超限界流と最大洗掘深との関係について述べた。

この報告は b-type を対象として、最大洗掘深について述べたのが主体で、二つ a-type の橋脚を設置した場合の最大洗掘深についての一例を付加するものである。

## §. 2 超限界流と最大洗掘深について。

図-1 の b-type の單一橋脚の周りの最大洗掘深は a-type と同様に、つきの関係式によつて示されるものと推論される。



$$F \left( \frac{h_s}{h_{np}} \text{ or } \frac{h_s}{R_{np}}, \frac{U_{np}}{U_{np*}} \right) = 0, \quad U_{np*} = \frac{9.82 U_{*c}}{2.50 K + 0.860} \quad (1)$$

$$F \left( \frac{h_s}{h_{np}} \text{ or } \frac{h_s}{R_{np}}, \frac{R_p}{R_{p*}} \right) = 0, \quad R_{p*} = 32.0 \left( \frac{U_{*c} d}{D} \right)^{0.796} \quad (2)$$

限界流すなわち洗掘発生限界時における現象は一般に、河床摩擦の限界摩擦力  $C_f$ 、または  $U_{*c} = \sqrt{C_f g}$ 、橋脚設置による流水場の収縮  $d/B = K$ 、すなはち橋脚の Reynolds number  $R_p = U_{np} d / \nu \approx 3 \times 10^4$  とすれば  $K = 3$  とするが、(1), (2) では  $R_p, K = 3$  と無理なく想定した式である。

また二つ a 式には b-type の形状を示す無次元量  $t/r$  の項が含まれておらず、補足すると、固定床実験において、 $t/r = 3, 5, 7$  の橋脚を用い、最大底流速に関する実験結果より、 $t/r$  の効果が顕著に現れなかつた、次に限界流に関する実験結果では前述の実験結果を考慮して  $t/r = 5.0$  の橋脚を用いて実験を行なつたところ、a-type と b-type と同様に顕著な相違が認められたかった。 (1), (2) 式は  $t/r$  の項を含めなかつた、しかしその妥当性は検討すべきものと考えられる。

まず小川せよ前述の推論の可能性を検討するために、幅 20cm の長方形断面開水路を用いて、次のようないくつかの実験を行なつた。

A)  $t/r = 4.0$  の橋脚の周りの最大洗掘深について。

過去の実験結果から判断して、 $t/r = 5.0$  の場合は a-type と同様の結果を予想されるが、 $t/r = 4.0$  の橋脚を対象にして、 $r = 1.0, 2.0, 2.5$  cm の変化させ、しかも平均粒径 0.15, 0.25, 0.35 cm

○3種類の河床物質と用い、 $\alpha$ -type の洗掘深との比較を試みた。

一般に洗掘深度領域、最大洗掘深は時刻の経過とともに増加するが、洗掘片が十分な量達するに要する移動床面の傾斜は山字形である。実験結果では、移動床面が得るまでの時間は、洗掘開始から 180 分～240 分であった。また初期移動床面からの最大洗掘深 ( $H_s$ ) は資料(1), (2)式の後者と plot で 3 と図-2～5 の結果を得るが、(1)式の  $\alpha$ -type の場合と同様に取扱ひ山字形が確認できる。

#### B) 最大洗掘深と $t/r$ との関係。

(1), (2)式の橋脚形状因子  $t/r$  の値は i)  $t/r = 0.15 \text{ cm}$ ,  $r = 1.0 \text{ cm}$ , ii)  $t/r = 0.25 \text{ cm}$ ,  $r = 2 \text{ cm}$  の 2 組の実験条件で、 $t/r = 2.0, 3.0, 4.0, 5.0, 6.0, 7.0$  と変化した場合、最大洗掘深に関する実験を行なった。

山字形資料(1)式の後者と plot で 3 と図-6 を得るが、図-2 と巨視的立場の結果は  $\alpha$  と  $\alpha$ ,  $b$ -type の差が余り認められないこと、 $t/r$  の効果を調べたところ

$$\left(\frac{H_s}{h_{ap}}\right)_{t/r} - \left(\frac{H_s}{h_{ap}}\right)_{t/r=2.0} = H_s$$

$$F(H_s, t/r) = 0$$

の関係を調べて、図-7 が得られる。図-7 で  $\log_10 \frac{D_{ap}}{25_{ap}^*} = 0.118$  の資料を除くと(この資料の中  $t/r = 2.0$  の値が少く問題があるうえに  $t/r > 3$  )、 $t/r$  の効果、傾向を調べると顕著な傾向と述べるに十分な結果が見出されるのがある。

以上 A), B) 2 つの実験結果より、第一報では述べた最大洗掘深の関係式の適用限界は

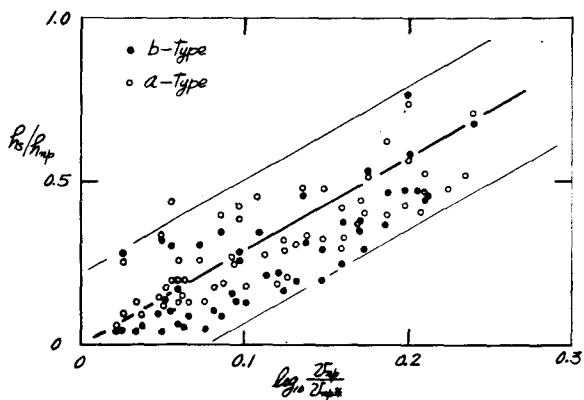


図-2

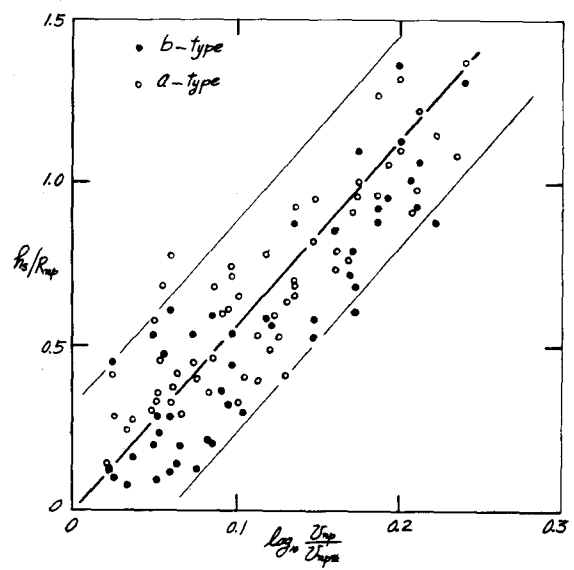


図-3

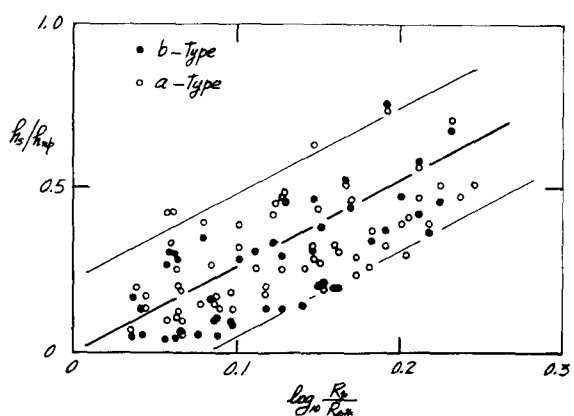


図-4

$2 \leq t/r \leq 7$  の条件を満たすにつき加えては  
とによつて、*b-type* の橋脚は、使用される  
ことが確認された。

ただし *b-type* の橋脚の流れに対する向う  
が図-1 の状態に限る事は十分注意する必要  
がある。

また一方資料には相当のバーラツキが見ら  
るが、その原因について考へると、(1), (2)  
式の差違の相違、あるいは表現がでくな  
因十をどうに起因するか知らぬのが、どうも  
基本的には限界流の資料と同様のバーラツキ  
があつたこと、むしろその事は起因してい  
ることではないかと考えられる。

次に限界流に関する資料を取扱ふ場合、 $d/dm$   
と橋脚の周りの洗掘発生時の砂粒の動的粒度  
の範囲(平面積)と橋脚断面積との比をとれば  
、一定の基準を設けて、流量の方向より限界  
流と定義づけた上で、限界流の資料とすれば  
では如何かと考へられ、それがされば今後尤  
其は今後尤も検討したく考へること。

### 3.3. 2つの*a-type* の橋脚の周りの洗 掘現象について。

一般に2つの橋脚を設置した場合、その橋  
脚中心間隔、中心を結ぶ直線と水の流向と  
の関係などによつて、2つの橋脚の周りの洗  
掘現象は大きく左左である。

例えばFront pier によつて流れるが  
、その背面に生ずる渦などがBack  
pier にどのように作用するのか?

まずこれはFront pier の周りの洗掘に  
伴つて、河床物質がどのように滞留  
するのか、その滞留によつて Back  
pier の背面の流れにどのように影響する  
かは必ずあるから、单一橋脚の周りの  
洗掘とそれを模倣可能な実験を行つ  
ことが想定される。

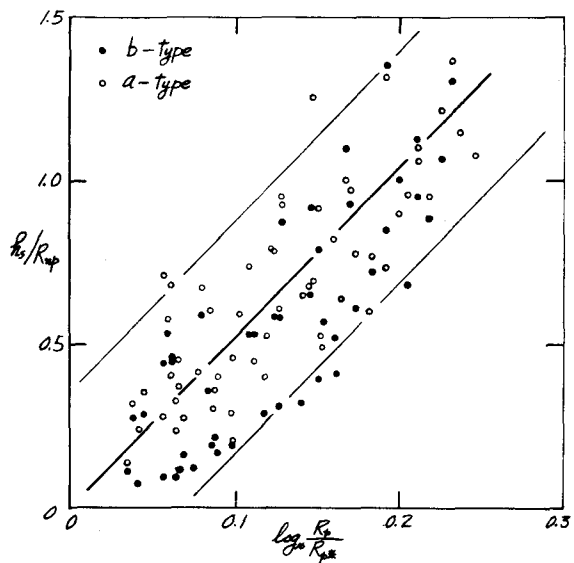


図-5

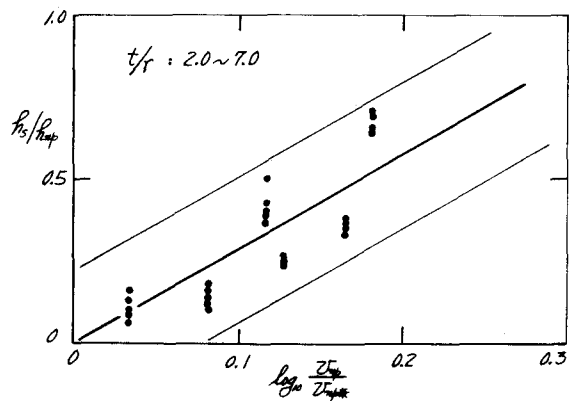


図-6

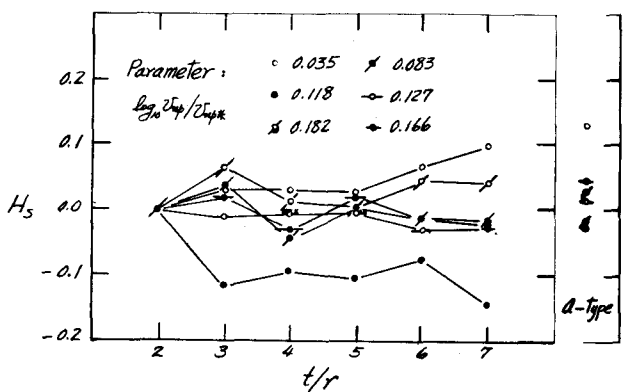


図-7

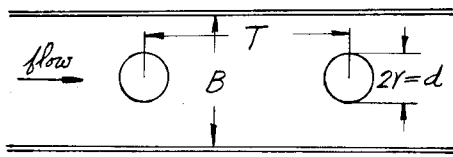


図-8

従つて、 $\tau = 0$  課題を完明すには、单一橋脚の立場を異なつた、齊川・鶴見らの研究と連絡が必要であるが、最も単純な図-8の上に、1) 水路中心線上に、2)  $\alpha$ -type の橋脚を設置した場合の最大洗掘深  $h_s$  を

$$z, d_m = 0.25 \text{ cm}, F_{np} = 0.3, \\ 0.4, 0.5, r = 2 \text{ cm}, T/r = 4 \sim$$

36 で  $\tau = 4$  と水理化した時の実験を行なひ、单一橋脚の場合の同様の整理をした図-9, 10 の結果が得られたが、図-9 上に区別すれば单一橋脚の場合と大差ないが、細部は図-10 で図-10 より見えてより上うえ、洗掘現象の複雑性の一部が見えてくる。

と思ふ。この洗掘現象の複雑性については、更に多くの実験が必要で、且下は、課題について研究中であることを、その特性については注目しておこう。

### §4. b-支柱

b-type の单一橋脚の図より最大洗掘深は第二報(5.46. 土木学会論文集)に述べた  $\tau = 2$  の確認を中心とし、図-2~5 と、安全側を考慮し、2)  $\alpha$ -type 橋脚は、前述の单一橋脚の図より最大洗掘深  $h_s$  で、次の上3が実験式が得られたが、左の橋脚は水路中心線上に設置し、右の橋脚は図-1ハ示した如きとする。

$$\frac{h_s}{h_{np}} = 0.21 + 2.89 \log_{10} \frac{2r_p}{2r_{np}*} \quad \dots (3), \quad \frac{h_s}{h_{np}} = 0.32 + 5.67 \log_{10} \frac{2r_p}{2r_{np}*} \quad \dots (4)$$

$$\frac{h_s}{h_{np}} = 0.22 + 2.64 \log_{10} \frac{R_p}{R_{np}*} \quad \dots (5), \quad \frac{h_s}{h_{np}} = 0.35 + 5.23 \log_{10} \frac{R_p}{R_{np}*} \quad \dots (6)$$

左の橋脚、 $d/d_m \geq 8.0, 0.1 \leq K \leq 0.25, 0.3 \leq F_{np} = 2r_p / \sqrt{gh_{np}} \leq 0.5, 2.0 \leq T/r \leq 7.0$ 。

最後に、この研究を行なうる者、実験の援助をして下された、当時日本大学理工学部土木工学科の学生である太田義明君並びに竹原修二君に対し、心から感謝の意を表します。

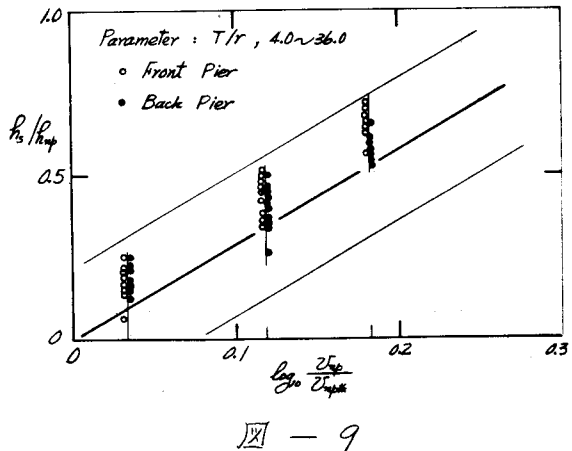


図-9

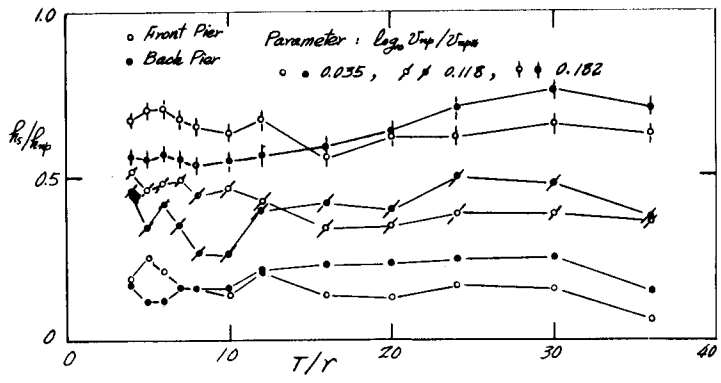


図-10